

دانشگاه صنعتی خواجه نصیرالدین طوسی  
تاسیس ۱۳۷۴

## دانشکده مهندسی هوافضا

### پایان نامه کارشناسی ارشد

#### گرایش سازه‌های هوایی

کنترل فعال ارتعاشات بال هواپیما با استفاده از سنسورها و عملگرهای

پیزوالکترونیک

استاد راهنما :

آقای دکتر سعید ایرانی

آقای دکتر اردوان کریم زاده

دانشجو :

سهراب میرزا عابدینی

بهمن ۱۳۹۰

## چکیده

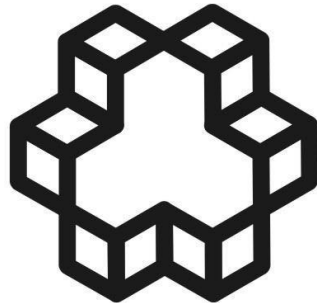
کنترل ارتعاشات در علم مکانیک و هواپضا امری بسیار مهم تلقی می‌شود زیرا ارتعاشات و نوasanات مزاحم باعث فرسایش زودرس تجهیزات و قطعات شده و همچنین در اثر بروز پدیده‌های مخربی مانند فلاٹر خرابی شدیدی در سازه به وجود می‌آید. بدین منظور برای کاهش و میراسازی ارتعاشات ناخواسته، سامانه‌ای برای جذب یا خنثی کردن آن بایستی طراحی شود. این سامانه شامل مدل دینامیکی یا آبرودینامیکی بال، حسگرها و عملگرهایی جهت تعیین وضعیت و اعمال نیروی کنترل و سیستم کنترل است.

نظر به این که طول بال در مقایسه با ضخامت آن بسیار بزرگتر است می‌توان از تئوری تیر اویلر-برنولی برای مدل‌سازی استفاده نمود. همچنین برای مدل‌سازی دینامیکی بال، تیری با مقطع متغیر در نظر گرفته می‌شود تا به بال شبیه‌تر باشد. در این پروژه از دو مدل بال با مقطع متغیر نمایی و خطی ( بصورت گوه شکل) استفاده شده و سپس به هر مدل سنسور و عملگر پیزوالکتریک اضافه شده است تا اثر نیروی عملگر (کنترل فعال) بروی تیر بررسی شود. لازم بذکر است که هر دو مدل بصورت تحلیلی حل شده‌اند و با استفاده از آنالیز مودال و جداسازی متغیرها و تئوری سری‌های فربینوس مدل دینامیکی سیستم‌ها بصورت معادلات فضای حالت نوشته شده و سپس نتایج فرکانس طبیعی و مد آن‌ها تعیین شده و با هم مقایسه شده‌اند. سپس با اعمال سیستم کنترل پسخوراند و کنترل بهینه نتایج سیستم حلقه بسته ارائه شده است. و پاسخ زمانی سیستم به کنترل فعال ارتعاشات توسط عملگرهای پیزوالکتریک ارائه شده است.

واژه‌های کلیدی: ارتعاشات – بال هواپیما – کنترل فعال – پیزوالکتریسیتی – مقطع متغیر



کنترل فعال ارتعاشات بال هواپیما با استفاده از سنسورها و عملگرهای پیزوالکترویک



دانشگاه صنعتی خواجه نصیرالدین طوسی

تاسیس ۱۳۷۲

## دانشکده مهندسی هوا فضا

### تأثیدیه هیئت داوران

هیئت داوران پس از مطالعه‌ی پایان نامه و شرکت در جلسه دفاع از پایان نامه تهیه شده تحت عنوان:

((کنترل فعال ارتعاشات بال هواپیما با استفاده از سنسورها و عملگرهای پیزوالکترویک)) ، توسط سهراب میرزا عابدینی صحت و کفايت تحقیق انجام شده را برای اخذ درجه‌ی کارشناسی ارشد در رشته‌ی مهندسی هوا فضا گرایش مهندسی فضایی مورد تایید قرار می‌دهد.

آقای دکتر سعید ایرانی

۱. استاد راهنما:

آقای دکتر اردوان کریم زاده

۲. استاد راهنما:

آقای دکتر عبدالمجید خشنود

۳. استاد ممتحن:

آقای دکتر علی محمودی

۴. استاد ممتحن:



## اظهارنامه

موضوع پایان نامه : کنترل فعال ارتعاشات بال هواپیما با استفاده از سنسورها و عملگرهای پیزوالکترویک

اساتید راهنمای : اقای دکتر سعید ایرانی، آقای دکتر اردوان کریم زاده

دانشجو : سهراب میرزا عابدینی

شماره دانشجویی : ۸۸۰ ۴۲۳۴

اینجانب سهراب میرزا عابدینی دانشجوی دوره کارشناسی ارشد مهندسی هوافضا گرایش سازه‌های هوایی دانشکده مهندسی هوافضا دانشگاه صنعتی خواجه نصیر الدین طوسی گواهی می‌نمایم که تحقیقات ارائه شده در این پایان نامه توسط شخص اینجانب انجام شده و صحت و اصالت مطالب نگارش شده مورد تایید می‌باشد و در مورد استفاده از کار دیگر محققان به مرجع مورد استفاده اشاره شده است. به علاوه گواهی می‌نمایم که مطالب مندرج در پایان نامه تاکنون برای دریافت هیچ مدرکی یا امتیازی توسط اینجانب یا فرد دیگری در هیچ جا ارائه نشده است و در تدوین متن پایان نامه چارچوب مطلوب دانشگاه به طور کامل رعایت شده است.

.....تاریخ.....



## حق طبع و نشر و مالکیت نتایج

۱. حق چاپ و تکثیر این پایان نامه متعلق به نویسنده آن می باشد . هر گونه کپی برداری به صورت کل پایان نامه یا بخشی از آن تنها با موافقت نویسنده یا کتابخانه دانشکده مهندسی هوا فضا دانشگاه صنعتی خواجه نصیر الدین طوسی مجاز می باشد. ضمنا متن این صفحه باید در نسخه تکثیر شده وجود داشته باشد.

۲. کلیه حقوق معنوی این اثر متعلق به دانشگاه صنعتی خواجه نصیر الدین طوسی می باشد و بدون اجازه کتبی دانشگاه به شخص ثالث قابل واگذاری نیست.  
همچنین استفاده از اطلاعات و نتایج موجود در پایان نامه بدون ذکر مرجع، مجاز نمی باشد.



## کلام شکر و قدردان

پایان نامه‌ای که مشاهده می‌کنید نتیجه یک سال کار می‌باشد که بسیاری از استادی و دوستان مرا در به انجام رساندن آن راهنمایی کردند.

اگرچه این رساله به نام بنده در این دانشگاه ثبت می‌شود ولی این کار بدون کمک استاد خوبم دکتر "اردوان کریمزاده" و دوستان خوبم مهندس "سعید برناسی" و مهندس "طه موسوی" انجام پذیر نبود. مراتب قدردانی و تشکر را هرچند در این چند خط نمی‌توانم بجا آورم اما باز هم از ایشان متشرکرم. همچنین از پدر و مادر دلسوز و همسر مهربانم برای کمکهای بی‌دriegشان در تمام مدت تحصیلم کمال تشکر را دارم. که بدون حمایت‌های این دو، بنده به هیچ آینده‌ای دست پیدا نمی‌کردم. هرچند این پایان نامه در اینجا به اتمام می‌رسد اما این پایان، نامه نیست و کار پژوهش بر روی این عنوان توسط اینجانب همچنان ادامه خواهد داشت.

سهراب میرزا عابدینی  
دانشگاه خواجه نصیرالدین طوسی  
[s\\_abedini@sina.kntu.ac.ir](mailto:s_abedini@sina.kntu.ac.ir)



کنترل فعال ارتعاشات بال هواپیما با استفاده از سنسورها و عملگرهای پیزوالکترویک

---

به یاد

ابراهیم معتمد

---



## فهرست مطالب

### ۱ ..... **فصل اول: مقدمه**

۲.....	۱-۱- مقدمه‌ای بر سازه‌های هوشمند
۴.....	۱-۲- مفهوم کنترل ارتعاشات
۵.....	۱-۲-۱- مقایسه ایزولاسیون ارتعاشات با جذب ارتعاشات
۶.....	۱-۲-۲- جذب ارتعاشات در مقابل کنترل ارتعاشات
۸.....	۱-۳- طبقه بندی سیستم‌های کنترل
۱۱.....	۱-۴- تعمیم سازه‌ی هوشمند به بال هواپیما و مروری بر کارهای انجام شده

### ۱۷ ..... **فصل دوم: پیزوالکتریسیتی**

۱۸.....	۲-۱- مفهوم پیزوالکتریسیتی
۱۸.....	۲-۲- رفتارهای پایه و مدل ساختاری مواد پیزوالکتریک
۲۱.....	۲-۳- تاریخچه پیزوالکتریسیتی
۲۵.....	۲-۴- ساختار کریستالی مواد پیزوالکتریک
۲۹.....	۲-۴-۱- مدل ساختاری ماده پیزوالکتریک
۳۰.....	۲-۴-۲- روابط ساختاری
۳۷.....	۲-۵- ثابت‌های پیزوالکتریکی
۴۲.....	۲-۵-۱- عملگرهای پیزوالکتریک
۴۶.....	۲-۶- مدل‌سازی عملگر پیزوالکتریک در چیدمان عرضی (خمشی)
۵۷.....	۲-۷- روابط دینامیکی تیر و پیزوالکتریک

### ۶۷ ..... **فصل سوم: تخمین خصوصیات بال**

۶۸.....	۳-۱- اطلاعات کلی در مورد بال ایرباس ۳۱۰
---------	---



## فصل چهارم: ارتعاشات عرضی تیر ..... ۷۴

۷۵	۱-۱-۴ مدل سازی تیر یکنواخت
۷۹	۱-۱-۴ بررسی ارتعاشات آزاد

## فصل پنجم: تیرهای مقطع متغیر ..... ۸۶

۸۷	۱-۵ تعیین معادلات تیر یک سر گیردار با تغییر مقطع نمایی
۹۶	۲-۵ تعیین معادلات تیر یک سر گیردار با مقطع متغیر خطی
۱۰۷	۳-۵ پاسخ به نیروی خارجی
۱۰۷	۱-۳-۵ رفتار تیر پیوسته

## فصل ششم: پاسخ تیرهای با مقطع متغیر به نیروی خارجی ..... ۱۱۰

۱۱۲	۱-۶ تیر نمائی
۱۱۳	۲-۶ مدل مرتبه کاهش یافته
۱۱۶	۳-۶ شبیه‌سازی عددی

## فصل هفتم: کنترل ارتعاشات ..... ۱۲۵

۱۳۲	۷-۱-۱ کنترل پسخوراند منفی
۱۳۶	۱-۱-۷ مشخصات پاسخ گذرا
۱۴۴	۷-۲-۱ طراحی کنترل کننده بهینه خطی LQR

## فصل هشتم: نتیجه‌گیری و پیشنهادات ..... ۱۵۴

۱۵۵	۱-۸ بحث و نتیجه‌گیری
۱۵۵	۲-۸ پیشنهادات
۱۵۶	منابع و مراجع



## فهرست اشکال

۲	..... شکل ۱-۱
۳	..... شکل ۲-۲- تعریف مفهومی و مشخصات سازه هوشمند
۵	..... شکل ۳-۲ مدل مستقیم در مقایسه با غیرمستقیم
۶	..... شکل ۴-۲- انواع سیستم‌های کنترل ارتعاشات
۷	..... شکل ۵-۲- نمونه‌ای از جذب ارتعاشات
۹	..... شکل ۶-۲- شماتیکی از کنترل فعال
۹	..... شکل ۷-۲ سازه‌ای عمومی و ابتدایی چیدمان مستهلك کننده غیر فعال
۱۱	..... شکل ۸-۲ شماتیکی نمونه وار از سازه مججهز به سیستم‌های تعلیق
۱۹	..... شکل ۱-۲- نمایش رفتار مستقیم و معکوس پیزوالکتریسیتی
۱۹	..... شکل ۲-۲- شماتیک القاگر پیزوالکتریک خمی
۲۱	..... شکل ۳-۲- برادران کوری
۲۶	..... شکل ۴-۲ ساختار بلورشناسی بلور پیزوسرامیک
۲۷	..... شکل ۵-۲ شماتیک دوقطبی الکتریکی در نواحی وايس
۲۷	..... شکل ۶-۲- نمای ماکروسکوپیک قطبی شدن یک ماده پیزوالکتریک
۳۷	..... شکل ۷-۲ - چیدمان القاگر پیزوالکتریکی برای اندازهگیری $d_{31}$
۳۸	..... شکل ۸-۲- معرفی شماتیک محورهای بلورشناسی و جهات تغییر شکل
۳۹	..... شکل ۹-۲- شماتیکی از چیدمان پیزوالکتریک لایه‌ای برای استفاده از $d_{31}$
۴۰	..... شکل ۱۰-۲- نمایش ثابت ولتاژ پیزوالکتریک $g_{31}$ در چیدمان <i>laminar</i>



..... ۴۶	شکل ۱۱-۲- جفت عملگر پیزوالکترویک
..... ۴۷	شکل ۱۲-۲- سیستم مختصات و توضیحات در مورد الحالات تیر و عملگر
..... ۴۷	شکل ۱۳-۲- توزیع نیرو بروی تیر
..... ۴۸	شکل ۱۴-۲- تغییر شکل داخلی تیر
..... ۴۸	شکل ۱۵-۲- تغییر شکل سینماتیکی تیر اویلر-برنولی
..... ۴۹	شکل ۱۶-۲- توزیع تنش-و گشتاور داخلی
..... ۵۲	شکل ۱۷-۲- تیر با جفت پیزوالکترویک
..... ۵۵	شکل ۱۸-۲- یک تیر با یک عملگر پیزوالکترویک
..... ۵۶	شکل ۱۹-۲- تجزیه توزیع تنش نامتقارن
..... ۵۸	شکل ۲۰-۲- تیر با پیزوالقگرهای با هم گذاری شده متعدد
..... ۶۸	شکل ۱-۳- نمای سه بعدی هواپیما
..... ۶۹	شکل ۲-۳- نمای بال
..... ۷۰	شکل ۳-۳- مشخصات بال هواپیمای A310
..... ۷۶	شکل ۱-۴- قسمتی از تیر تحت نیرو
..... ۷۶	شکل ۲-۴- دیاگرام آزاد
..... ۷۷	شکل ۳-۴- تیر در حال خمش
..... ۸۷	شکل ۱-۵- تیر با مقطع نمائی
..... ۹۲	شکل ۲-۵- شکل مودهای تیر نمائی
..... ۹۳	شکل ۳-۵- مد پنجم ارتعاشی تیر یکسر در گیر با $\beta = 0$
..... ۹۵	شکل ۴-۵- مقایسه ضرایب خمش متفاوت برای مود اول
..... ۹۶	شکل ۵-۵- نمای عرضی تیر گوهشکل



شکل ۵-۶- مختصات تیر گوه شکل در انتهای آزاد تیر	۹۶
شکل ۵-۷- مختصات تیر گوه شکل در انتهای مقید تیر	۹۶
شکل ۵-۸- شکل مودهای اول تا چهارم تیر گوه شکل	۱۰۴
شکل ۵-۹- محور مختصات در انتهای تیر گوه شکل	۱۰۶
شکل ۵-۱۰- محور مختصات در انتهای آزاد تیر گوه شکل	۱۰۶
شکل ۱-۶- شماتیک تیر گوه شکل	۱۱۱
شکل ۲-۶- شماتیک تیر نمایی	۱۱۲
شکل ۳-۶- شماتیک ایرفویل	۱۱۶
شکل ۴-۶- ارتعاشات تیر نمونه با طول دلخواه	۱۱۸
شکل ۵-۶- پاسخ به ورودی پله	۱۱۹
شکل ۶-۶- پاسخ به ورودی شیب	۱۱۹
شکل ۷-۶- پاسخ حلقه باز تیر نمایی به عنوان بال	۱۲۰
شکل ۸-۶- پاسخ به ورودی ramp برای تیر نمایی با ضریب شیب ۱.۲۱	۱۲۱
شکل ۹-۶- پاسخ به ورودی ramp برای تیر نمایی با ضریب شیب ۱.۲۱	۱۲۲
شکل ۱۰-۶- پاسخ به ورودی سینوسی برای تیر نمایی با ضریب شیب ۱.۲۱	۱۲۲
شکل ۱۱-۶- پاسخ حلقه باز تیر گوه شکل به عنوان بال	۱۲۳
شکل ۱۲-۶ - پاسخ حلقه باز تیر نمایی به عنوان بال به ورودی شیب با جفت پیزوالکترویک‌ها	۱۲۳
شکل ۱-۷- شماتیک سیستم حلقه باز	۱۲۶
شکل ۲-۷- شماتیک سیستم کنترل فعال	۱۲۷
شکل ۳-۷- شماتیک ساده سیستم حلقه بسته	۱۲۷
شکل ۴-۷- نمایش ساده piezopatch ها بر روی تیر یکنواخت	۱۲۹



۱۲۹	شکل ۵-۷- شماتیک توزیع <i>piezopatch</i> بروی تیر نمائی
۱۳۱	شکل ۶-۷- بلوک دیاگرام حلقه بسته با پسخوراند
۱۳۱	شکل ۷-۷- کنترل پسخوراند سازه انعطاف پذیر شامل تعداد کثیری از مدهای الاستیکی
۱۳۳	شکل ۸-۷- مود اول
۱۳۳	شکل ۹-۷- مود دوم
۱۳۳	شکل ۱۰-۷- مود سوم
۱۳۳	شکل ۱۱-۷- مود چهارم
۱۳۴	شکل ۱۲-۷- نمودار <i>pole-zero</i> برای سیستم حلقه باز
۱۳۵	شکل ۱۳-۷- نحوه ترکیب <i>gain</i> در پخورد منفی
۱۳۷	شکل ۱۴-۷- منحنی پاسخ پله واحد با نمایش زمان تأخیر و صعود و فراجهش و نشت
۱۳۹	شکل ۱۵-۷- تعریف زاویه $\beta$
۱۴۱	شکل ۱۶-۷- پاسخ گذرای سیستم حلقه بسته با کنترل پسخوراند منفی
۱۴۱	شکل ۱۷-۷- پاسخ گذرای مود یک سیستم حلقه بسته
۱۴۲	شکل ۱۸-۷- پاسخ گذرای مود دوم- سیستم حلقه بسته
۱۴۲	شکل ۱۹-۷- پاسخ گذرای مود سوم- سیستم حلقه بسته
۱۴۲	شکل ۲۰-۷- پاسخ گذرای مود چهارم- سیستم حلقه بسته
۱۴۳	شکل ۲۱-۷- بلوک دیاگرام شبیه‌سازی شده در <i>Matlab Simulink toolbox</i>
۱۴۳	شکل ۲۲-۷- شبیه‌سازی در <i>Simulink</i>
۱۴۶	شکل ۲۳-۷- بلوک دیاگرام برای نمایش <i>LQR</i>
۱۵۱	شکل ۲۴-۷- پاسخ گذرای مود اول تیر نمائی با کنترلر بهینه حالت پسخوراند
۱۵۱	شکل ۲۵-۷- پاسخ گذرای چهار مود اول تیر نمائی با کنترلر بهینه حالت پسخوراند



- شکل ۲۶-۷- کنترل ارتعاش مود اول تیر نمائی با کنترلر بهینه حالت پسخوراند ..... ۱۵۱
- شکل ۲۷-۷- کنترل ارتعاش مود دوم تیر نمائی با کنترلر بهینه حالت پسخوراند ..... ۱۵۲
- شکل ۲۸-۷- کنترل ارتعاش مود سوم تیر نمائی با کنترلر بهینه حالت پسخوراند ..... ۱۵۲
- شکل ۲۹-۷- کنترل ارتعاش مود چهارم تیر نمائی با کنترلر بهینه حالت پسخوراند ..... ۱۵۳
- شکل ۳۰-۷- خمش عرضی تیر ..... ۱۵۳

## فهرست جداول

جدول ۱-۲ تشریح اثر پیزوالکتروسیتی بصورت ساده ..... ۲۵
جدول ۲-۲ تعریف ثابت‌های مواد پیزوالکترویک با استفاده از روابط ساختاری ..... ۳۴
جدول ۳-۲ روابط بین پیزوالکترویک و ثابت‌های مواد ..... ۳۶
جدول ۴-۲ گزیده‌ای از ثابت‌های مواد برای چند پیزوالکترویک معروف ..... ۳۸
جدول ۵-۲ - تقسیم‌بندی پیزو عملگرها با توجه به کاربرد کلی ..... ۴۳
جدول ۶-۲ طرح‌ها و مشخصات مختلف پیزو عملگر ..... ۴۵
جدول ۱-۳ - اطلاعات بال هواپیمای ایرباس ۳۱۰ ..... ۷۰
جدول ۲-۳ - مشخصات نهائی بال ..... ۷۳
جدول ۱-۵ - مقادیر ویژه مدهای ارتعاش تیر با خمش $\beta = 0$ ..... ۹۱
جدول ۲-۵ - مقادیر ویژه مدهای ارتعاش تیر با خمش $\beta = -1, +1$ ..... ۹۳
جدول ۳-۵ - مقادیر ویژه مدهای ارتعاش تیر با خمش $\beta = -1.21$ ..... ۹۴
جدول ۴-۵ - مقادیر ویژه تیر گوه شکل برای مدهای ۱ تا ۴ ..... ۱۰۳
جدول ۵-۵ - مقایسه مقادیر ویژه تیر گوه شکل و نمائی ..... ۱۰۷



۱۱۶	جدول ۱-۶ - مقادیر مورد نیاز در محاسبات ارتعاشات برای نمونه بال
۱۱۷	جدول ۲-۶ مقادیر و ثابت‌های پیزوالکترویک نمونه
۱۱۷	جدول ۳-۶ - مشخصات ۳ پیزوالکترویک نمونه
۱۲۰	جدول ۴-۶ - فرکانس طبیعی تیر بال با مدل تیر نمایی

## فهرست علائم

واحد	نام پارامتر	علائم
$V$	$vlt$	ولتاژ
$\ell$	$m$	طول
$t$	$s$	زمان
$F$	$N$	نیرو
$m$	$kg$	جرم
$D$	$C / m^2$	جابجایی دیالکترویک
$\varepsilon$	$V / m$	میدان الکتریکی
$\xi$	$[F/m]$	ضریب گذردهی مطلق دیالکترویک
$s$	$[m^2 / N] = C^{-1}$	ضریب برآورده مکانیکی
$d_{ip}$	$m/V$ و $C/N$	ماتریس ضرایب کرنش پیزوالکترویک
$Q$	$C / m^3$	بار الکتریکی
$I$	$N/C$	شدت جریان
$Ue$	$KWh$	انرژی پتانسیل الکتریکی
$\delta u_v$	$KWh / m^3$	چگالی انرژی کل
$\sigma$	$N/m^2$ یا $Pa$	تنش
$\beta_{ij}^\sigma$	$m / F$	ماتریس ضرایب گذردهی در میدان تنش ثابت
$g_{ip}$	$Vm / N$ or $m^2 / C$	ماتریس ضرایب ولتاژ پیزوالکترویک - رابط بین تنش و میدان الکتریک

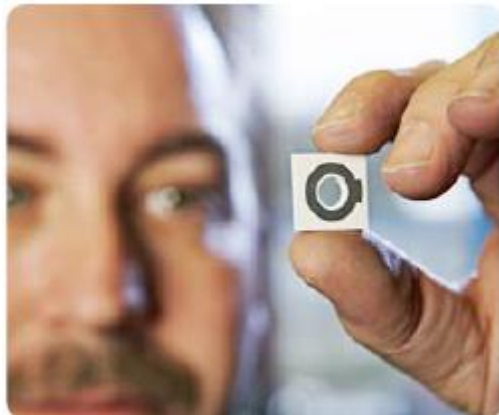


$c_{pq}^D$	$N / m^2$	ضرایب سختی الاستیسیته تحت جابجایی الکتریکی ثابت
$e_{ip}$	$V / m.V$ or $C/m^2$	ماتریس ضرایب پیزوالکترویک
$\xi_{ij}^\sigma$	$Farad, F / m$	ماتریس ضرایب گذردهی یادیالکتریک تحت تنش ثابت
$s_{pq}^\varepsilon$	$m^2 / N$	ماتریس ضرایب برآورد مکانیکی تحت میدان الکتریک ثابت
$h_{ip}$	$V / m$	ماتریس ضرایب پیزوالکترویک
$C$	$F$	ظرفیت هم ارز ماده پیزوالکترویک
$V$	$N$	نیروی برشی
$M$	$N.m$	گشتاور خمشی
$I$	$m^4$	ممان اینرسی
$E$	$N / m^2$	مدول یانگ
$\omega$	$rad / s$	فرکانس
$t_p$	$m$	ضخامت المان پیزوالکترویک
$t_b$	$m$	ضخامت تیر در نقطه اتصال
$\alpha$	$m^{-1}$	شیب توزیع تنش
$S$	$m$	کرنش
$\kappa$	بی بعد	ضریب پیزوالکترویک خمشی
$\rho$	$kg / m^3$	چگالی
$\Omega$	—	فرکانس بی بعد
$\zeta \text{ و } \eta$	—	مکان بی بعد
$Q_i(t)$	—	نیروی تعمیم یافته
$q(x,t)$	$N$	بار گستردہ
$\alpha_{nn}$	—	ضریب چگالی در معادله پیزوالکترویک
$\alpha$	—	ضریب شیب توزیع تنش
$F_n$		ضریب مکان پیزوالکترویک

# فصل اول: مقدمه

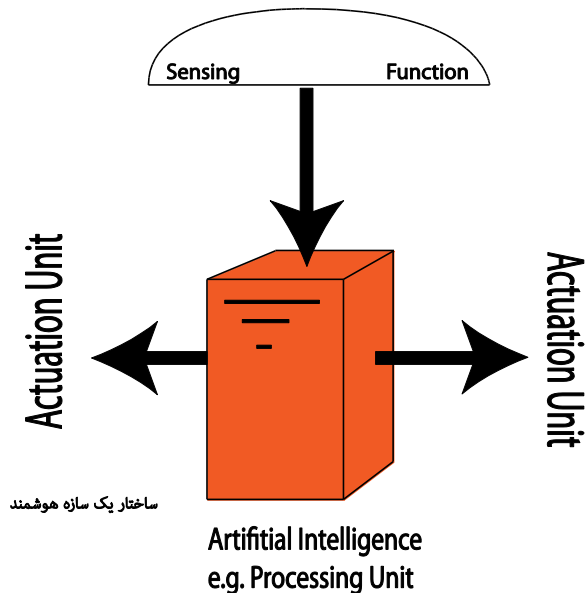


## ۱-۱- مقدمه‌ای بر سازه‌های هوشمند



شکل ۱-۱

در ادبیات ارتعاشی تعاریف متعددی برای سازه‌ای هوشمند در نظر گرفته می‌شود که طبق هر زمینه‌ی مهندسی یا علمی این تعریف تغییر می‌کند. برخلاف چنین تنوعی، بصورت عام پذیرفته شده که سازه‌ای هوشمند سازه‌ای است که شامل خصوصیات حیات و هوش مصنوعی است. (شکل ۱-۲). خصوصیات حیات بیانگر این موضوع است که سازه قابلیت حسگری و عملگری داشته باشد، این خصوصیات تقریباً در هر موجود زنده‌ای وجود دارد. این قابلیت‌ها می‌توانند بصورت ذاتی مربوط به سیستم باشد یا اینکه بصورت مصنوعی به آن اضافه شود. هوش مصنوعی تضمین کننده‌ی این موضوع است که سازه‌ای هوشمند بتواند قابلیت‌های منحصر بفردی داشته باشد که از طریق کامپیوتر، میکروپروسسور، منطق کنترلی و الگوریتم‌هایی که برای شرایط محیطی مختلف عمل می‌کنند این کار انجام شود. این خصوصیت تابع کنترلی را طبق شکل (۱-۲) انجام میدهد.



شکل ۲-۰- تعریف مفهومی و مشخصات سازه هوشمند

تصویرت کلی یک سازه هوشمند شامل یک یا چند ماده‌ی فعال می‌باشد. این مواد فعال بصورت منحصر بفردی عمل می‌کنند که حداقل دو مورد از قابلیت‌های: مکانیکی، الکتریکی، مغناطیسی، گرمایی، شیمیایی و نوری را به کار می‌برند. توسط کوپل کردن دو مورد از این قابلیت‌ها، این مواد می‌توانند شکل خود را تغییر دهند یا به تحریک محیطی پاسخ دهند و خواص فیزیکی، هندسی و رئولوژیکی خود را تغییر دهند. برخی از مواد هوشمند به ترتیب اکتشاف در لیست زیر آورده شده است

- پیروالکتریک<sup>۱</sup> (۳۱۵ ق.م، کوپل گرمایی و مکانیکی)
- سیال الکترورئولوژیکی<sup>۲</sup> (۱۷۱۴، کوپل میدان الکتریکی و مکانیکی)
- مواد الاستیسیته مغناطیسی<sup>۳</sup> (۱۸۴۰، کوپل مغناطیسی و مکانیکی)
- پیزوالکتریک‌ها<sup>۱</sup> (۱۸۸۰، کوپل میدان الکتریکی و مکانیکی)

<sup>1</sup> pyroelectrics

<sup>2</sup> electrorheological fluids

<sup>3</sup> magnetostrictive materials



- آلیاژهای حافظه دار<sup>۱</sup> (۱۹۳۲، کوپل میدان گرمایی و مکانیکی)
- سیال‌های مگنتورئولوژیکال<sup>۲</sup> (۱۹۴۷، کوپل میدان مغناطیسی و مکانیکی)
- پلیمرهای الکترواکتیو و ژل‌های پلی-الکتروولیت<sup>۳</sup> (۱۹۴۹، کوپل الکتریکی و مکانیکی)
- مواد الاستیسیته الکتریکی<sup>۴</sup> (۱۹۵۴، کوپل میدان الکتریکی و مکانیکی)
- مواد فوتواستریکتیو<sup>۵</sup> (۱۹۷۴، کوپل میدان نوری و مکانیکی)

در این پژوهه بیشتر تمرکز بروی پیزوالکتریک‌ها بوده که در آینده مفصلاً روابط حاکم بر آنها تشریح خواهد شد. در حقیقت پیزوالکتریک‌ها یکی از عمومی‌ترین مواد هوشمند هستند که در بسیاری سیستم‌های مکاترونیکی و کنترل ارتعاشات بکار می‌روند.<sup>[۱]</sup>

## ۱-۲- مفهوم کنترل ارتعاشات

هنگام کنترل ارتعاشات دو موضوع مهم باید در نظر گرفته شوند؛ نامعینی‌ها و کنترل. در مدل‌سازی یک سیستم دینامیکی دو سناریو ممکن است اتفاق بیافتد. اگر بتوان پارامترهای سیستم را تحت شرایط معینی معلوم نمود به این مدل "مستقیم" گویند (شکل ۱-۳). برای حالاتی که رفتارهای پیچیده وجود دارد و دینامیک سیستم نامعینی دارد از طریق مدل "غیرمستقیم" رفتار سیستم بررسی می‌شود. لازم بذکر است که هر دوی این مدل‌ها می‌توانند "جبری" یا "احتمالاتی" باشد.

<sup>1</sup> piezoelectrics

<sup>2</sup> shape memory alloys

<sup>3</sup> magnetorheological fluids

<sup>4</sup> electroactive polymers and polyelectrolyte gels

<sup>5</sup> electrostrictive materials

<sup>6</sup> photostrictive materials